

제 6 강

시간 차분법 - Part I

박동훈

부산대학교 항공우주공학과





- 시간에 대한 미분항을 포함하는 지배방정식
 - 시간과 공간에 대한 차분(discretization) 필요

$$\frac{\partial \phi}{\partial t} = F(\phi) \quad \phi : \text{scalar quantity}$$

시간 미분항을 제외한 모든 항

- 시간 차분 (temporal discretization)

- 1차 정확도 후방 차분법: $\frac{\phi^{n+1} - \phi^n}{\Delta t} = F(\phi)$
 - n-1, n, n+1 : Time Level
 - Δt : Time Step

- 2차 정확도 후방 차분법: $\frac{3\phi^{n+1} - 4\phi^n + \phi^{n-1}}{2\Delta t} = F(\phi)$

- 현재 및 이전 시간의 정보를 사용하여 다음 시간 값 계산



- 외재적 방법 (Explicit Method)
 - 현재 시간 단계 값(ϕ^n)을 이용하여 우변 결정

$$\frac{\phi^{n+1} - \phi^n}{\Delta t} = F(\phi^n) \longrightarrow \phi^{n+1} = \phi^n + \Delta t F(\phi^n)$$

- 내재적 방법 (Implicit Method)
 - 다음 시간 단계 값 (ϕ^{n+1})을 이용하여 우변 결정

$$\frac{\phi^{n+1} - \phi^n}{\Delta t} = F(\phi^{n+1}) \longrightarrow \phi^{n+1} - \Delta t F(\phi^{n+1}) = \phi^n$$

Example

$$\frac{\partial \phi}{\partial t} = c \frac{\partial \phi}{\partial x}$$



$$\frac{\phi_i^{n+1} - \phi_i^n}{\Delta t} = c \frac{\phi_{i+1}^{n+1} - \phi_{i-1}^{n+1}}{2\Delta x}$$

중앙차분 적용



$$\phi_i^{n+1} - c \frac{\Delta t}{2\Delta x} (\phi_{i+1}^{n+1} - \phi_{i-1}^{n+1}) = \phi_i^n$$

모든 위치에서의 차분식들로 연립방정식 계 구성



- 복합적 방법

- 현재와 다음 시간단계 값의 조합으로 우변 결정

$$\frac{\phi^{n+1} - \phi^n}{\Delta t} = F(\phi^*) \quad \phi^* = \theta\phi^{n+1} + (1-\theta)\phi^n$$

$$\frac{\phi^{n+1} - \phi^n}{\Delta t} = F([\theta\phi^{n+1} + (1-\theta)\phi^n])$$

- 예: Crank-Nicolson Method $\theta=1/2$

$$\frac{\phi^{n+1} - \phi^n}{\Delta t} = F\left(\frac{\phi^{n+1} + \phi^n}{2}\right)$$



- 시간 정확도 (Time Accuracy)

- 시간 차분에 따른 차분 오차 발생

1차 정확도 시간 차분법 오차 ~ $O(\Delta t)$

2차 정확도 시간 차분법 오차 ~ $O((\Delta t)^2)$

- 높은 차수의 방법일수록 시간 차분 오차 감소
- time step이 클 수록 시간 차분 오차 증가
- 각 시간 단계에서의 결과 정확도에 영향
- 시간 전진에 따라 오차 누적 가능 - 긴 시간 계산 시 오차 증가



- Euler Backward Difference

$$\frac{\phi^{n+1} - \phi^n}{\Delta t} = F(\phi^n)$$

1차 정확도

$$\frac{3\phi^{n+1} - 4\phi^n + \phi^{n-1}}{2\Delta t} = F(\phi^n)$$

2차 정확도

- 높은 차수의 시간 정확도를 위해서는 더 많은 이전 시간 단계에서의 값들이 필요
- 필요한 이전 시간단계들의 정보를 저장하고 있어야 함
- 정확도에 비례하여 요구 메모리 증가



- Multi-Stage Runge-Kutta Scheme

- 여러 중간 단계를 거쳐 다음 시간 값을 예측

m-stage R-K method

$$\Delta\phi = \phi - \phi^n$$

$$\phi^{(0)} = \phi^n$$

Stage 1: $\Delta\phi^{(1)} = \alpha_1 \Delta t R(\phi^{(0)})$

$$\phi^{(1)} = \phi^{(0)} + \Delta\phi^{(1)}$$

Stage 2: $\Delta\phi^{(2)} = \alpha_2 \Delta t R(\phi^{(1)})$

$$\phi^{(2)} = \phi^{(0)} + \Delta\phi^{(2)}$$

⋮

⋮

⋮

Stage m : $\Delta\phi^{(m)} = \alpha_m \Delta t R(\phi^{(3)})$

$$\phi^{(m)} = \phi^{(0)} + \Delta\phi^{(m)} = \phi^{n+1}$$

α_i : multi-stage coefficient for i^{th} stage

- 시간정확도와 단계(stage)수에 따라 계수가 달라짐
- 같은 시간정확도 일 때 단계수가 많을수록 긴 time step 사용 가능



- Example : 4-Stage Runge-Kutta Scheme

$$\Delta\phi = \phi - \phi^n \qquad \phi^{(0)} = \phi^n$$

$$\begin{aligned} \text{Stage 1: } \phi^{(1)} &= \phi^{(0)} + \alpha_1 \Delta t R(\phi^{(0)}) & \text{Stage 2: } \phi^{(2)} &= \phi^{(0)} + \alpha_2 \Delta t R(\phi^{(1)}) \\ \text{Stage 3: } \phi^{(3)} &= \phi^{(0)} + \alpha_3 \Delta t R(\phi^{(2)}) & \text{Stage 4: } \phi^{(4)} &= \phi^{(0)} + \alpha_4 \Delta t R(\phi^{(3)}) \\ & & & \phi^{(4)} = \phi^{n+1} \end{aligned}$$

- Modified Runge-Kutta Method

- CFD에서 multi-stage Runge-Kutta 방법의 적용 : 매 단계에서 새로운 예측값을 사용하여 점성항 또는 소산항 재평가 → 계산량 증가
- 매 단계에서 새로 평가하지 않고 다른 단계에서의 값을 조합하여 사용 → 계산 효율 및 수치적 안정성 증대 가능



- 수치적 안정성 (numerical stability) 문제
 - 사용 가능한 time step (Δt)이 수치적 안정성에 의해 제약 받음
 - 수치적 안정성 확보를 위해 특정 크기 이하의 Δt 사용
- CFL (Courant-Friedrichs-Lewy) Condition
 - 수치적 안정성을 위한 필요조건

Example: 1차원 문제

Courant number: $C = \frac{u\Delta t}{\Delta x}$

CFL condition: $C \leq C_{\max}$

- u : magnitude of velocity
- Δx : the length interval

- CFL 조건을 만족하는 Δt 를 사용해야 함 (속도, 격자크기가 영향을 줌)
- 다수의 CFD 코드에서 CFL number를 사용하여 Δt 설정



- ADI (Alternating Direction Implicit) Scheme

- 한 방향으로의 내재적 계산을 각 방향에 대해 순차적으로 수행
- 차분식의 근사 분해(Approximate Factorization)

$$\begin{aligned}
 & (1 + D_x A + D_y B) \Delta\phi = R(\phi^n) \quad \xrightarrow{\text{근사분해}} \quad (1 + D_x A) \boxed{(1 + D_y B) \Delta\phi} = R(\phi^n) \\
 & \begin{array}{c} \swarrow \quad \searrow \\ x, y \text{ 방향 공간 미분 연산자} \end{array} \qquad \qquad \qquad (D_x A)(D_y B) \Delta\phi \quad : \text{factorization error}
 \end{aligned}$$

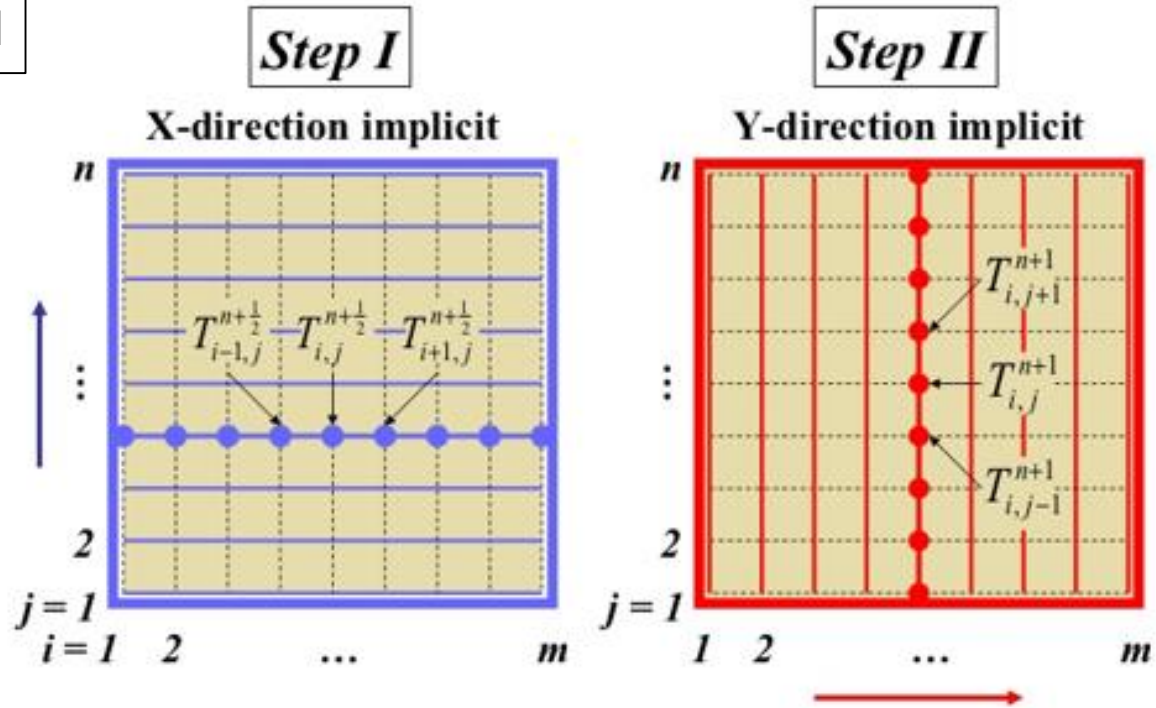
Step 1: $(1 + D_x A) \Delta\phi^* = R(\phi^n)$ $\xrightarrow{x \text{ 방향 implicit}}$ $\Delta\phi^*$ 획득

Step 2: $(1 + D_y B) \Delta\phi = \Delta\phi^*$ $\xrightarrow{y \text{ 방향 implicit}}$ $\Delta\phi$ 획득



Concept of ADI

$$\frac{\partial T}{\partial t} = k \left(\frac{\partial^2 T}{\partial x^2} + \frac{\partial^2 T}{\partial y^2} \right)$$



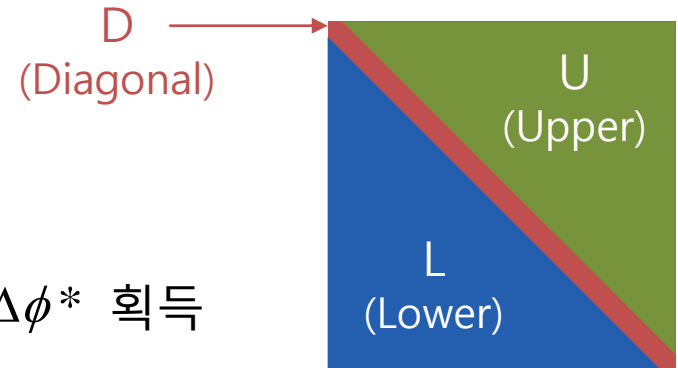
- AF-ADI (Alternating Direction Implicit) Scheme in CFD
 - 정렬격자(structured grid)에만 적용 가능
 - Factorization Error 추가 / 병렬화 이슈



- LU-SGS (Lower-Upper Symmetric Gauss-Seidel) Scheme

- Gauss-Seidel relaxation 방식 적용 / 전방 & 후방 Sweep 수행

$$(D+L) \underbrace{D^{-1} (D+U) \Delta\phi^n}_{\Delta\phi^*} = R(\phi^n)$$



Forward sweep: $(D+L)\Delta\phi^* = R(\phi^n)$ → $\Delta\phi^*$ 획득

Backward sweep: $(D+U)\Delta\phi^n = D\Delta\phi^*$ → $\Delta\phi$ 획득

- 정렬 격자와 비정렬 격자에 모두 사용 가능
- 수치적 복잡성과 요구 메모리량이 다단 R-K 방법과 비슷한 수준
- 상대적으로 벡터 컴퓨팅과 병렬화 적용에 용이함



- 높은 수치적 안정성
 - Fully implicit 방법은 unconditionally stable
 - Time step에 대한 제약 완화
- 추가적인 계산 요구
 - 한번의 시간 전진에 더 많은 (추가적인) 계산 요구 – 계산량 증가
- 구현 및 적용성
 - 선형화 등을 비롯하여 적용 및 구현이 상대적으로 복잡함



- 현재 시간단계(n) 값으로부터 다음 시간레벨($n+1$) 계산

	Explicit Method	Implicit Method
Advantage	<ul style="list-style-type: none"> × 상대적으로 쉬운 적용 × 시간 정확도 차수 증가 용이 	<ul style="list-style-type: none"> × 수치적 안정성 × Time step 제약 완화
Disadvantage	<ul style="list-style-type: none"> × CFL 조건 - 수치적 불안정성 × Time step 제약 	<ul style="list-style-type: none"> × 추가계산 및 적용 복잡성
Methods	<ul style="list-style-type: none"> × Euler Backward Difference × Multi-stage Runge-Kutta 	<ul style="list-style-type: none"> × AF-ADI × LU-SGS